

## 大変形時における塑性ヒンジを保証する 有メナーゼヒンジRC柱の実験的検討

五島 健斗<sup>1</sup>・植村 佳大<sup>2</sup>・高橋 良和<sup>3</sup>

<sup>1</sup>学生会員 京都大学大学院 工学研究科（〒615-8540 京都府京都市西京区京都大学桂）

<sup>2</sup>学生会員 工修 京都大学大学院 工学研究科（〒615-8540 京都府京都市西京区京都大学桂）

<sup>3</sup>正会員 工博 京都大学 教授（〒615-8540 京都府京都市西京区京都大学桂）

### 1. 背景

2011年に発生した東北地方太平洋沖地震以降、確保されるべき安全性がたとえ損なわれた場合でも直ちに危機的な状況に陥らないようにするべきとされる危機耐性の概念が注目されている。

そのような中、従来のRC柱は、強震時において柱基部での塑性ヒンジ形成によるエネルギー吸収や変形性能の向上を狙っている。これは、現在の耐震設計において、柱基部の損傷部に力の伝達および変形の連続性を保証したヒンジ構造が形成されることを期待しているといえる。しかし実際は、設計の想定を超える大変形がRC柱に生じた場合、柱基部の損傷が無秩序に進行し、ヒンジとしての機能を発揮することができず、力の伝達および変形の連続性が損なわれる恐れがある。このような破壊の発生は大変形時におけるRC柱の挙動の不確定性を高めることにつながるため、危機耐性を考慮する上で好ましくないといえる。大変形領域におけるRC柱に関する既往の研究には、石橋ら<sup>1)</sup>による内巻きスパイラル構造が挙げられる。この構造は、RC柱基部に内巻スパイラル筋を配置し、コアコンクリートの拘束効果を高めることで、塑性ヒンジ部の性能を向上させており、従来のRC柱に比べて、変形性能が飛躍的に向上することが確認されている。しかし、通常のRC柱同様、保護されたコアコンクリートが想定以上に損傷した場合の破壊挙動の不確定性は、依然として高いといえる。

このような状況を受けて、本研究では「鈍構造」<sup>2)</sup>という概念に着目した。鈍構造とは、「構造物が提供する機能の損失に対して鈍感な構造」と定義さ

れ、地震外力や構造物自身の非線形挙動などの不確実性の高い要因に対し、鈍感である構造を指す。この鈍構造は、「想定と異なる外力に対する破壊挙動の不確定性を最小限に留めた構造」と解釈することができ、破壊が進行して構造物の非線形性が高まっていくにつれ、(たとえ不安定であっても) 定まった挙動を示す構造が、地震後における復旧を考える上で有利であると考え、RC柱の危機耐性向上に資するといえる。

そこで本研究では、想定と異なる外力に対する破壊挙動の不確定性を最小限に留めた構造(鈍構造)の実現を目指す。具体的には、RC柱基部にメナーゼヒンジを配置し、RC柱に別途ヒンジ機能を附加した有メナーゼヒンジRC柱を考案し、正負交番載荷実験によりその耐震性能について検討する。

### 2. 有メナーゼヒンジRC柱

#### (1) メナーゼヒンジとは

メナーゼヒンジとは、Augustin Mesnager<sup>3)</sup>により1907年に開発された擬似ヒンジ構造で、図-1のように開口部に交差させた鉄筋を配置したヒンジである。軸力、せん断力の伝達を行い、また曲げモーメントの伝達を抑制することで、構造物の応答を下げることができる。一方で、メナーゼヒンジは大変形を想定して提案された構造ではなく、メナーゼヒンジを大変形が想定される部分に組み込むことは、メナーゼヒンジ本来の適用範囲を逸脱していると考えることができる。そのような中、Li ら<sup>4)</sup>は、柱下端をメナーゼヒンジで接合している柱(ロッカーボルト)の大変形領域における耐震性能評価を行うため、橋

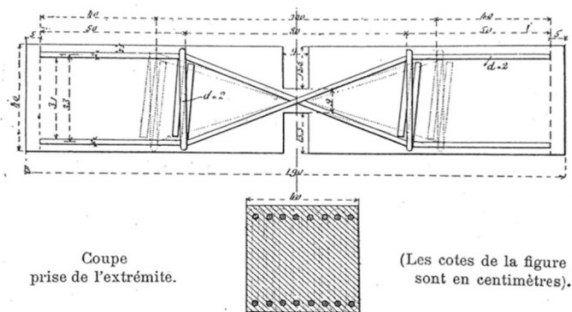


図-1 メナーゼヒンジ

軸方向の載荷実験を行っている。実験の結果、メナーゼヒンジは、大変形領域においても小さな抵抗モーメントを示す優れたヒンジ特性を持つ回転変形をしていることが確認された。この結果を受け、本研究では、大変形が想定されるRC柱基部にメナーゼヒンジを組み込む場合でも、安定したヒンジ機構の発現が期待できると考えた。

## (2) メナーゼヒンジの設計

メナーゼヒンジはParsons<sup>5)</sup>によって、理論的解法が提案され、内山ら<sup>6)</sup>によってその計算式が誘導されている。それらは鉄筋埋込み部分のコンクリートを無視し、交差鉄筋の基部が固定された三角トラスを形成していると仮定したものである。またメナーゼヒンジなどのコンクリートヒンジは、道路構造物では支承の1つとして取りまとめられ、その設計基準が道路橋支承便覧<sup>7)</sup>に提示されている。そこでは、この内山ら<sup>6)</sup>による計算式を参考に、簡易的な式によって鉄筋の圧縮応力度の算出式が規定されている。

$$\sigma_{sc} = \frac{N}{nAs \cos \theta} + \frac{S}{nAs \sin \theta} \quad (1)$$

ここに、 $N$ は軸力(N)、 $S$ はせん断力(N)、 $n$ は鉄筋本数(本)、 $As$ はヒンジ鉄筋1本の断面積( $\text{mm}^2$ )、 $\theta$ はヒンジ鉄筋の部材軸方向に対する角度( $^\circ$ )である。なお式(2)、式(3)より、メナーゼ筋によるコンクリートの支圧応力度が許容値を満足するような支圧幅を求める。

$$n = \frac{S}{2.5 d^2 \sigma_{ca}} \quad (2)$$

ここに、 $\sigma_{ca}$ はコンクリートの許容支圧応力度( $\text{N/mm}^2$ )である。

$$\sigma_{ca} = \left( 0.25 + 0.05 \frac{P}{2d} \right) \sigma_{ck} \leq 0.5 \sigma_{ck} \quad (3)$$

ここに、 $P$ はメナーゼ鉄筋の中心間隔(mm)、 $d$ は支圧力の作用幅(mm)、 $\sigma_{ck}$ はコンクリートの設計基準強度( $\text{N/mm}^2$ )である。

これらの式を用いることで、メナーゼ筋の圧縮応力度、コンクリートの支圧応力度を計算し、必要な鉄筋径、支圧幅を算出することができる。

## (3) 有メナーゼヒンジRC柱について

有メナーゼヒンジRC柱は、通常のRC柱にヒンジ機能を別途付加するために、図-1のように鉄筋をX字状に配筋した構造上のヒンジ(メナーゼヒンジ)<sup>3)</sup>を柱基部に配置したRC柱である。しかし、有メナーゼヒンジRC柱では、メナーゼ筋交叉部において、軸方向鉄筋及びかぶりコンクリートが存在するため、柱基部の回転変形がメナーゼ筋交叉部以外で発生する恐れがある。従って有メナーゼヒンジRC柱では、大変形時における回転変形がメナーゼ筋の交叉部で生じるよう、柱基部に破壊性状を制御するための構造(図-2)が必要であると考えた。以下に破壊制御にあたっての有メナーゼヒンジRC柱の特徴および期待する挙動を述べる。

### a) 柱基部の帶鉄筋量の減少と90° フックを有する帶鉄筋の配置

有メナーゼヒンジRC柱では、塑性ヒンジとなる区間を限定化するために、塑性化を想定する区間での帶鉄筋量を通常の区間よりも小さい値に設定する。更に塑性化を想定する区間の中央部にのみ通常の帶鉄筋よりも座屈拘束力の小さい90°フックを有する帶鉄筋を使用することで、軸方向鉄筋の座屈変形の腹を塑性化を想定する区間の中央部に誘導する。

### b) メナーゼ筋曲げ加工部における断面の曲げ耐力減少による損傷箇所の誘導

有メナーゼヒンジRC柱では、メナーゼ筋の曲げ加工部において断面の曲げ耐力が減少している。通

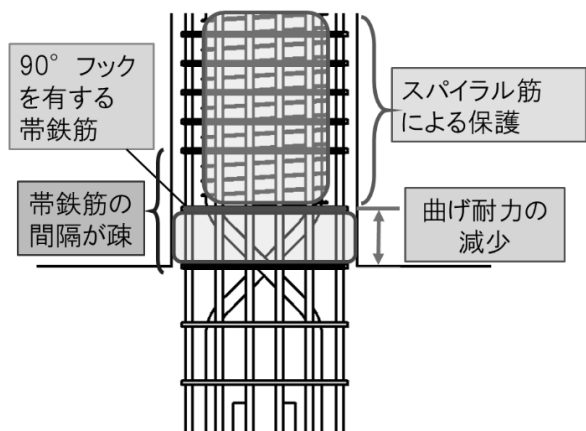


図-2 有メナーゼヒンジRC柱基部の配筋

常のRC柱では、曲げ耐力が急激に変化するとその部分に損傷が集中し、思わぬ損傷が生じることが懸念される。しかし、曲げ耐力減少部分で曲げひび割れが発生し、損傷が集中するという現象は、柱基部に損傷を集中させたい本研究の狙いには適しているといえる。

#### c) スパイラル筋による損傷の限定化

RC柱におけるスパイラル筋の配置はコアコンクリートの拘束力を高める効果を持つ。これによりコアコンクリートは無拘束の場合に比べて優れた耐力や韌性が得られることが知られており、その効果は石橋ら<sup>1)</sup>の研究の中でも示されている。有メナーゼヒンジRC柱では、設計時に塑性化を想定している区間より上部の柱部分にスパイラル筋を配置することで、その区間のコアコンクリートを保護し、塑性化が柱上部へ進行することを防ぐ。これにより、柱の損傷を柱基部に限定化することを狙う。

#### d) 有メナーゼヒンジRC柱に期待する挙動

通常のRC柱では、想定を超える大変形が作用することで、柱基部の損傷が無秩序に進行し、柱の挙動の不確定性が高まっていく。それに対し有メナーゼヒンジRC柱では、設計の想定内の変形では通常のRC柱と同様の挙動を示し、設計の想定を超える大変形時には、柱基部における破壊性状の制御及びメナーゼヒンジにより想定したヒンジ構造へ移行する。

すなわち、有メナーゼヒンジRC柱は、柱の破壊が進行していくにつれ、柱の挙動の不確定性が低下して定まった挙動を示す構造(鈍構造)であり、危機耐性を考えるうえで理想的な構造であると言える。

### 3. 正負交番載荷実験概要

本研究では、大変形時における塑性ヒンジを保証する有メナーゼヒンジRC柱に対して正負交番載荷実験を行い、柱基部での破壊性状の制御やヒンジ機構への移行などについて検討する。以下に実験についての詳細を示す。

#### (1) 実験供試体

本研究において実験供試体は、現行の耐震基準を満たす通常のRC柱であるC50-STと、有メナーゼヒンジRC柱供試体であるC100-WMの2体を作成した。コンクリートには、セメントの種類が早強ポルトランドセメント、スランプ18cm、粗骨材の最大寸法15mmのものを用い、コンクリートの圧縮強度は、テストピースによる圧縮試験により34.1MPaと算出

した。

#### a) C50-ST

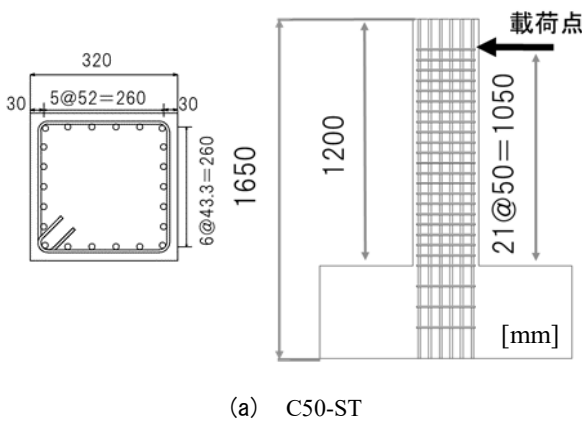
C50-STは、現行の耐震基準を満たすRC柱で、鉄道ラーメン橋を想定した供試体であり、軸方向鉄筋の座屈による曲げ破壊で終局を迎えるよう設計した。なお、帯鉄筋間隔は50mm、帯鉄筋比は0.8%、帯鉄筋間隔有効高さ比は0.172となっている。図-4(a)に道路橋示方書・同解説-耐震設計編<sup>8)</sup>に基づいて算出した骨格曲線を示す。図中のプロットは、耐震性能2の限界状態に相当する変位 $\varepsilon_{ls2}$ 、耐震性能3の限界状態に相当する変位 $\varepsilon_{ls3}$ を表している。C50-STでは $\varepsilon_{ls2}$ が16mm、 $\varepsilon_{ls3}$ が23mmとなっている。通常の耐震設計では耐震性能3に至るまでの挙動における安全性を照査しており、それ以降の挙動に関しては耐震安全性が検討されていない。そのため、耐震性能3の限界状態を超える挙動は、耐震設計において想定外の挙動であるといえる。

#### b) C100-WM

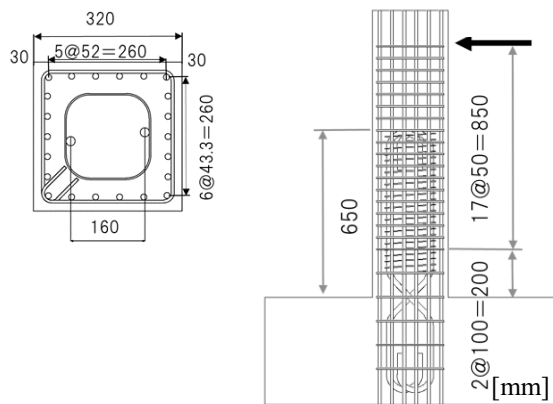
C100-WMはC50-STに対して、メナーゼ筋とスパイラル筋を軸方向鉄筋の内側に配置した有メナーゼヒンジRC柱供試体である。メナーゼ筋の交差部が柱高さ10mmの位置になるように配置し、スパイラル筋は、柱高さ100mmから上の区間に配置している。帯鉄筋間隔については、柱高さ200mmまでの区間では100mm、それより上の区間では50mmとした。また、柱高さ100mmの帯鉄筋にのみ90°フックを有する帯鉄筋を使用し、それ以外は、鋭角フックを有する帯鉄筋を使用している。図-4(b)に道路橋示方書・同解説耐震設計編<sup>8)</sup>に基づいて算出した骨格曲線を示す。C100-WMでは、かぶりコンクリートが限界ひずみに達したことで終局を迎える、 $\varepsilon_{ls2}$ 、 $\varepsilon_{ls3}$ が12mmとなっている。本供試体では、90°フックを有する帯鉄筋および、メナーゼ筋の曲げ加工部の曲げ耐力減少による柱基部の損傷位置の誘導や、大変形時におけるスパイラル筋による柱基部の損傷の限定化などといった破壊性状の制御と、メナーゼヒンジによる軸変形・せん断変形の防止とヒンジ機構の発現などについて検討する。

#### c) メナーゼ筋、90° フックを有する帯鉄筋、スパイラル筋の詳細

図-5に本実験で使用するメナーゼ筋、90°フックを有する帯鉄筋の寸法を示す。メナーゼ筋には、SD345のD19の異形鉄筋を使用し、式(1)、式(2)、式(3)を用いて鉄筋径、支圧幅を算出し、支圧幅についてはメナーゼ筋に鉄のプレートを貼り付けて55mmとなるように調整した。スパイラル筋には、

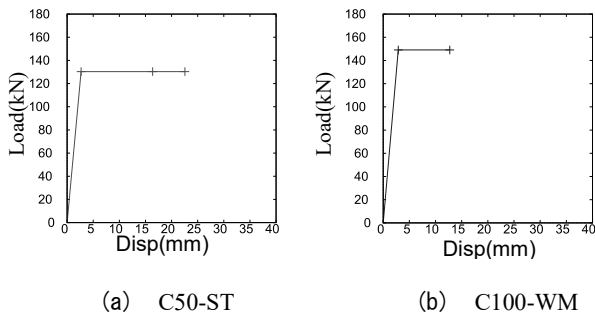


(a) C50-ST



(b) C100-WM

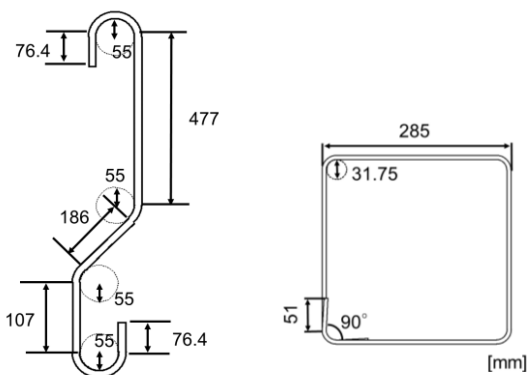
図-3 断面図および配筋図



(a) C50-ST

(b) C100-WM

図-4 各供試体の骨格曲線



(a) メナーゼ筋

(b) 90°フックを有する帶鉄筋

図-5 メナーゼ筋及び90°フックを有する帶鉄筋寸法

1S9.3PC鋼より線の芯線を使用した。なお、1S9.3PC鋼より線の芯材は材料試験の結果最大引張力16kNとなっており、矩形のスパイラル状にして配置した。また、スパイラル筋のピッチについては、石橋ら<sup>1)</sup>の研究より、内巻き耐力比（内巻きスパイラルによる曲げ耐力に対するせん断耐力の余裕）が2.4程度で、ピッチが10mmから28mmの範囲でスパイラル筋を配筋することで最も効果的にコアコンクリートを保護できることが示されている。よって有メナーゼヒンジRC柱では、スパイラル筋のピッチを25mmとし、内巻き耐力比が2.4程度となるようにした。90°フックを有する帶鉄筋には、通常の帶鉄筋と同様にSD345のD6の異形鉄筋を使用し、フック先端の定着部の長さは51mm(8φ)とした。

## (2) 載荷方法と測定データ

載荷方法は正負交番載荷とした。柱基部の軸方向鉄筋のひずみをモニターしながら載荷を行い、軸方向鉄筋の降伏した点を降伏変位 $\delta_c$ (=5mm)とし、それを基準として、その整数倍の変位振幅での繰り返し載荷を行った。載荷回数は、繰り返し回数を3回とした。また載荷軸応力は約1.0MPaとした。測定データについては、供試体の各変形状態における復元力を得るために、アクチュエータに設置されているロードセルにより供試体の載荷位置における復元力及び軸力を測定した。また、供試体の載荷位置における水平変位を計測するため、供試体の載荷位置にワイヤ式変位計を設置した。

## 4. 結果と考察

本章では、各供試体の正負交番載荷実験から得られた、荷重-変位関係、破壊性状、最大荷重の推移、について実験結果を整理し、考察を行う。その際、供試体のアクチュエータ側の面をW面(載荷面側)、その裏側の面をE面(載荷面裏側)と表記する。

### (1) 荷重-変位関係

#### a) C50-ST

C50-STの荷重-変位関係を図-6(a)に示す。図-6(a)より、C50-STでは、載荷振幅30mmまでは、履歴ループが紡錘型になっており、典型的な曲げ挙動を示していることが分かる。そして軸方向鉄筋の座屈を迎え、これを機に履歴ループが逆S字型に変化、さらに剛性が低下し、著しい荷重低下が発生した。その後載荷振幅55mmで載荷を終了した。また最大荷重は正負ともに載荷振幅20mmの1サイクル目

で最大となり、正最大荷重が154kN、負最大荷重が140kNであった。

### b) C100-WM

C100-WMは、軸方向鉄筋座屈発生前までは、C50-STと同様に典型的な曲げ挙動を示していた。そして、軸方向鉄筋の座屈発生後は履歴ループは逆S字型へ移行し、剛性が低下したが、C50-STに比べて緩やかな荷重低下を見せた。その後、載荷振幅70mmで載荷を終了した。また、正最大荷重は載荷振幅15mmの1サイクル目で164kN、負最大荷重は載荷振幅20mmの1サイクル目で158kNとなった。

## (2) 柱基部における破壊性状の制御

C100-WMでは、メナーゼヒンジによるヒンジ機構の発現のために柱基部での破壊性状を制御する工夫を施した。ここでは、C50-STとC100-WMでの破壊性状の違いを比較しながら、軸方向鉄筋の座屈発生前後の様子について検討する。

### a) C50-ST

C50-STでは、柱基部に水平な曲げひび割れが発生し、その後座屈発生直前には柱基部に小さなひび割れが多数発生した。そして軸方向鉄筋の座屈を迎え、座屈発生点は、W面(載荷面側)で載荷振幅30mmの3サイクル目、E面(載荷面裏側)で、載荷振幅35mmの1サイクル目であった。軸方向鉄筋の座屈発生後は、柱基部の損傷が進むにつれてコアコンクリートが玉石状に崩壊し、載荷終了時にはコアコンクリートの損傷は柱高さ200mm付近まで及んだ。(図-8(a))

### b) C100-WM

C100-WMでは、まずメナーゼ筋の曲げ加工部である柱高さ100mmの位置に曲げひび割れが発生した(図-7(a))。その後、このひび割れが大きく開くこ

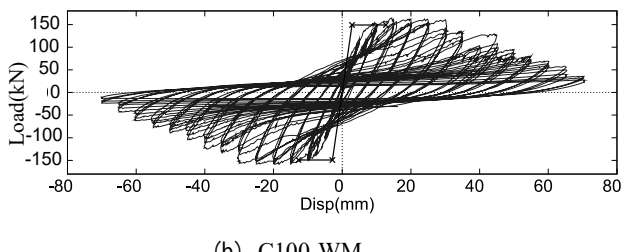
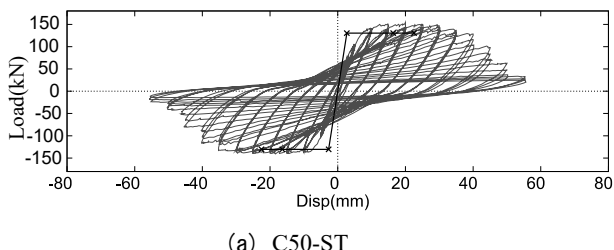
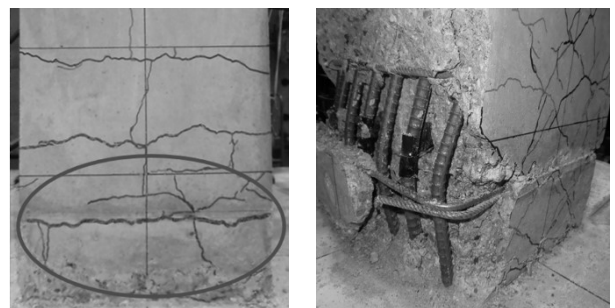


図-6 荷重-変位履歴関係

とで、軸方向鉄筋の座屈を迎えた。座屈発生点はW面(載荷面側)、E面(載荷面裏側)ともに載荷振幅30mmの2サイクル目であった。

そして座屈発生時(図-7(b))にはこのように90°フックを有する帶鉄筋の高さの位置が軸方向鉄筋の座屈変形の腹になっていることが確認された。これは、柱基部の水平ひび割れ発生によるかぶりコンクリートの座屈拘束力の低下と、通常の帶鉄筋よりも座屈拘束力が小さい90°フックを有する帶鉄筋により、座屈発生位置がその位置に誘導されたことを示している。

また、軸方向鉄筋の座屈発生後から載荷終了時にかけて、かぶりコンクリートは柱高さ300mm付近まで剥落したが、スパイラル筋により保護された部分のコアコンクリートが損傷なく残存しており、スパイラル筋の配置によりコアコンクリートの損傷は柱高さ100mmより下部に限定されていた。



(a) 水平ひび割れ発生 (b) 軸方向鉄筋座屈発生

図-7 C100-WMにおける柱基部の座屈発生前後の様子



(a) C50-ST



(b) C100-WM

図-8 載荷終了時の各供試体の柱基部の様子

### c) 比較とまとめ

C50-ST では、軸方向鉄筋の座屈発生後、柱基部のコアコンクリートが大きく損傷し、柱高さ 200mm 付近まで損傷が進展していた。一方 C100-WM では、90°フックを有する帶鉄筋とメナーゼ筋の曲げ加工部における曲げ耐力の減少により軸方向鉄筋の座屈発生位置が誘導され、その後は柱高さ 100mm より上部に配置したスパイラル筋によって柱基部の損傷が限定化された。以上より、C100-WM では、軸方向鉄筋の座屈発生以降の柱基部での破壊性状が適切に制御され、メナーゼ筋の交叉部への損傷の集中が図られたことが確認された。

### (3) 柱基部での軸変形、せん断変形の防止とヒンジ機構の発現

各供試体の柱基部での軸変形、せん断変形について検討する。

#### a) C50-ST

C50-ST では、軸方向鉄筋の座屈発生後、載荷振幅 40mm 以降の挙動で柱基部でのせん断変形が生じた。このせん断変形は載荷振幅が大きくなるにつれて増加し、載荷振幅 55mm 終了時には約 40mm のせん断変形が確認された。また軸変形についても、載荷振幅 45mm 以降で大幅な増加がみられ、載荷振幅 55mm 終了時には 21.6mm の沈下が確認された(図-11(a))。

#### b) C100-WM

C100-WM では、軸方向鉄筋の座屈発生後、かぶりコンクリートが剥落し、柱基部のコアコンクリートの損傷が進んだ状態においてもせん断変形は確認されなかった。(図-10)

軸変形についても、C50-ST で軸変位の増大が起こった載荷振幅 45mm 以降も大きな変化は見られず、沈下量は最大で 3.9mm であった。また載荷振幅 65mm 以降では、軸方向鉄筋の破断が発生したが、その際も大きな軸変形、せん断変形は発生しておらず、メナーゼ筋の交差部を支点としたヒンジ機構が明確に発現している様子が確認された。

続いてメナーゼヒンジにかかる軸力と曲げモーメントについて、メナーゼ筋のひずみデータをもとに検討する。鉄筋は完全弾塑性体のバイリニア型と仮定し、ひずみデータから求めた断面のひずみ分布から応力、曲げモーメントを算出した。ただし、W 面側(載荷面側)のメナーゼ筋のひずみゲージにデータ欠損がみられたため、ここでは E 面側(載荷面裏側)のメナーゼ筋でのデータを用いて考察していく。図-12

にメナーゼ筋にかかる曲げモーメントと軸力を示す。

図-12(a)より、曲げモーメントを柱にかかる水平力に換算すると、実際に柱にかかる荷重に比べてかなり小さな値となっていることが分かる。従ってメナーゼヒンジの曲げモーメントによる柱の挙動への影響は少ないと考えられ、これはメナーゼヒンジが曲げモーメントの伝達を抑え、ヒンジとして機能していることを示している。続いてメナーゼ筋にかかる軸力のグラフについて検討する。グラフの Y 軸の正の部分ではメナーゼ筋が引張力、負の部分では圧縮力が発揮していることを示している。グラフから、軸方向鉄筋の座屈発生後には、メナーゼ筋の発揮する応力は次第に圧縮側に転じていることが分かる。これは変形が大きくなり柱基部の損傷が激しくなると、メナーゼ筋が柱にかかる軸力の一部を負担していることを示している。これにより C100-WM では軸変形が抑制されたと考えられる。

#### c) 比較とまとめ

塑性ヒンジ部では安定して軸力とせん断力が伝達され、柱基部での軸変形とせん断変形が防止されている必要がある。しかし C50-ST では、塑性ヒンジがヒンジとしての機能を発揮できず、柱基部において軸変形およびせん断変形が発生した。一方、C100-WM では、大変形時において、柱基部でのせん断変形、軸変形が防止され、メナーゼヒンジによるヒンジ機構の発現が確認された。従って C100-

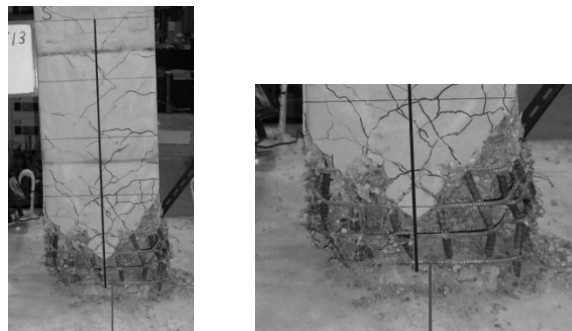


図-9 C50-STにおける柱基部のせん断変形の様子

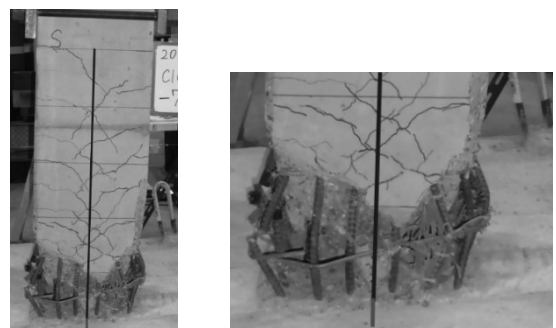
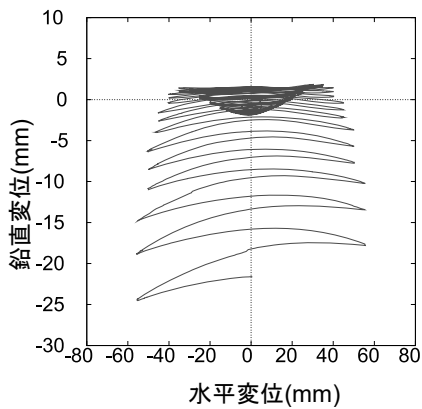
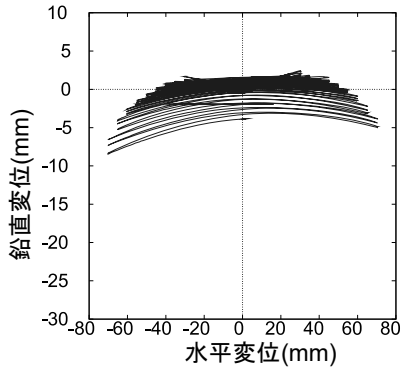


図-10 C100-WMにおける柱基部でのせん断変形防止の様子



(a) C50-ST



(b) C100-WM

図-11 各供試体の水平変位-鉛直変位関係

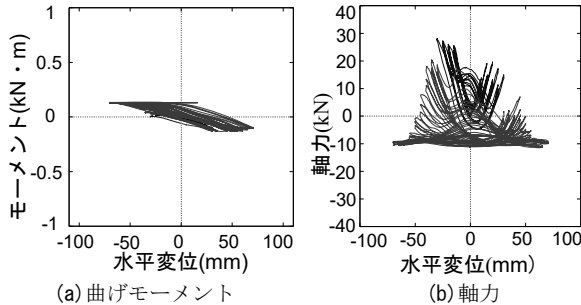


図-12 メナーゼ筋にかかる曲げモーメント、軸力

WMは、設計の想定をこえる大変形時においても挙動の不確定性を最小限に留める安定したヒンジ構造へ移行することが確認された。

#### (4) 軸方向鉄筋の挙動の安定による荷重低下改善

軸方向鉄筋の座屈発生後、C50-STでは、著しい荷重低下が発生していたのに対し、C100-WMでは、荷重低下が緩やかになっていた。4.(2)で述べたように、この際C50-STでは、柱基部におけるせん断変形が発生していたが、C100-WMではせん断変形が防止されていた。ここで柱基部でのせん断変形と軸方向鉄筋の引張抵抗力発揮との関係を図-13、図-14に示す。C50-STでは、柱基部での横ずれが発生

したこと、図-13のように圧縮により座屈した軸方向鉄筋が、引張側に転じても曲がったままとなっており引張力が発揮できておらず、これにより顕著な荷重低下が発生したと考えられる。一方、C100-WMでは柱基部での横ずれ防止により、図-14のように圧縮により座屈した軸方向鉄筋が、引張側に転じた際にまっすぐに引張抵抗力を発揮し、これにより軸方向鉄筋座屈後のRC柱の荷重低下が改善されたと考えられる。これは、軸方向鉄筋の座屈後の柱の荷重がピンチング的に増加していることからも判断できる。以上より、柱基部でのせん断変形が防止されることで、座屈した軸方向鉄筋の挙動が安定し、引張抵抗力が発揮され、その結果、軸方向鉄筋座屈後の荷重低下改善につながることがわかった。

以上の結果から、有メナーゼヒンジRC柱では、設計の想定を超える変形領域において、柱の耐力を緩やかに低下させながら、ヒンジ機構による定まった挙動へ移行することが可能であることがわかった。

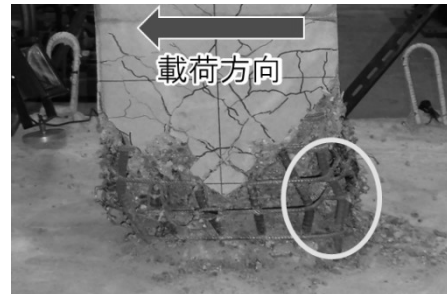


図-13 C50-STにおける軸方向鉄筋の様子

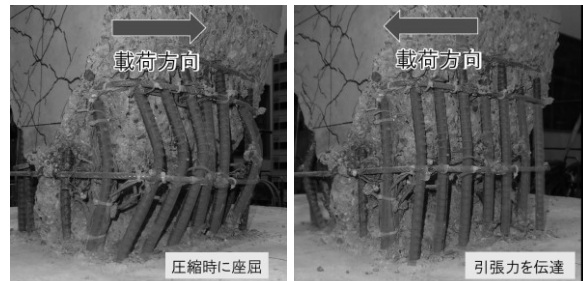


図-14 C100-WMにおける軸方向鉄筋の様子

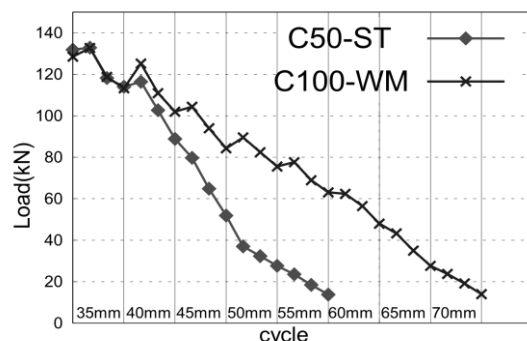


図-15 載荷振幅35mm以降の最大荷重の推移の比較

## 5. 結論

本研究では、大変形時においても破壊性状が制御され、最終的にメナーゼヒンジによるヒンジ機構への移行が実現できる構造として、「有メナーゼヒンジRC柱」を提案し、その耐震性能を検証した。以下に、本研究で得られた知見を示す。

- 有メナーゼヒンジRC柱は、軸方向鉄筋の座屈発生前における挙動では、通常のRC柱と同傾向の荷重・変位関係を示した。そのため、有メナーゼヒンジRC柱は、設計の想定内の変形に対しては、通常のRC柱と類似した挙動を示すことがわかった。
- 有メナーゼヒンジRC柱では、メナーゼ筋の曲げ加工部の曲げ耐力減少と、その部分に配置した90°フックを有する帶鉄筋による効果により、その位置に柱の損傷を集中させることができた。その結果、軸方向鉄筋の座屈発生位置をその位置に誘導することに成功した。
- 標準RC供試体では、軸方向鉄筋座屈後、柱基部のコアコンクリートの損傷が進展し、柱高さ200mm付近まで玉石状に破壊されていた。一方、有メナーゼヒンジRC柱では、スパイラル筋が柱上部のコアコンクリートを保護することで、塑性部の柱上部へ進行を抑制した。その結果、柱に大変形に加わった場合も、柱の損傷をスパイラル筋の配置区間より下の部分に限定化できることが分かった。
- 標準RC供試体では、柱の大変形時における柱基部周辺の更なる塑性化により、柱基部において軸変形およびせん断変形が生じていた。それに対し、有メナーゼヒンジRC柱では、標準RC供試体に比べ、大変形時における柱基部の軸変形、せん断変形が大幅に抑制された。さらに、柱基部において、メナーゼ筋にかかる軸力及び曲げモーメントの検討により、メナーゼ筋の交差部を支点としたヒンジ機構が明確に発現している様子が確認された。このことから柱基部にメナーゼヒンジを配置することで、大変形時においても、安定したヒンジ機構を保証できることが示された。
- 標準RC供試体では柱基部にせん断変形が生じることで、座屈した軸方向鉄筋が引張力を発揮することができず、結果としてRC柱の顕著な荷重低下につながった。一方、有メナーゼヒンジRC柱では柱基部に配置されたメナーゼ

ヒンジにより、柱基部でのせん断変形が防止されるため、軸方向鉄筋座屈後のRC柱の挙動が安定し、座屈した鉄筋の引張抵抗力が発揮された。その結果、軸方向鉄筋座屈後のRC柱の荷重がピンチング的に増加していることが確認でき、標準RC供試体に比べ、荷重低下改善効果が確認できた。

以上より有メナーゼヒンジRC柱は、設計の想定を超える大変形が生じた場合でも、RC柱の破壊性状を適切に制御し、柱基部の軸変形・せん断変形を防止しながら、最終的にヒンジ機構へ移行する構造であることが確認された。よって有メナーゼヒンジRC柱は、柱基部の損傷が進行するにつれ、破壊挙動の不確定性が低下するという点で鈍構造であると言え、危機耐性向上へ向けた一つのアプローチとなることがわかった。

**謝辞：**本研究の一部は一般財団法人大成学術財団の助成を受けた。謝意を表します。

## 参考文献

- 1) 石橋忠良, 菅野貴浩, 木野淳一, 小林薰, 小原和宏：軸方向鉄筋の内側に円形帶鉄筋を配置した鉄筋コンクリート柱の地震時変形性能, コンクリート工学論文集, Vol.20, No.2, pp.1-12, 2009.
- 2) 高橋良和, 日高拳：不確定性の高い地震作用に対する構造戦略としての鈍構造の提案とその適用事例に関する一考察, 土木学会論文集A1, Vol. 70, No.4, pp.535-544, 2014.
- 3) Mesnager : Experiences sur une semi-articulation pour voûtes en B'eton arm'e, Annales de Ponts de Chaussees, 2, pp.180-201, 1907.
- 4) Li,S., Ikawa,Y., Ohshiro,T., Takahashi,Y., and Hashinoki, M. : An examination of the seismic performance of rocker pier bridges in Japans oldest expressway, Proc. of International Conference on Bridge Maintenance, Safety and Management, 2016
- 5) Parsons, D.E. and Stang, A.H. : Test of Mesnager hinges, Journal of ACI, Vol.31, No.1, pp.304-325, 1935.
- 6) 内山実：メナーゼ鉄の圧縮試験について, 土木学会誌, Vol.23, No.5, pp.471-487, 1937.
- 7) 日本道路協会:道路橋支承便覧, 2004.
- 8) 日本道路協会：道路橋示方書・同解説 耐震設計編, 2012